

電気通信大学，作井誠太，東京工業大学，中村正久
東京工業大学大学院，○大宝雄蔵

I. 目的 定常クリープよりも大なるひずみ速度下の定常状態変形について温度，ひずみ速度および応力の間の関係を調べ，その動的なrestoration過程を明らかにすることとする。

II. 方法 中空円筒試験片のねじり変形を試験温度が $0.1 \sim 0.9 T_m$ (T_m は試料の融点, °K), ひずみ速度が $2 \times 10^{-3} / \text{sec} \sim 40 / \text{sec}$ の条件で行ない，せん断応力—せん断ひずみ曲線を求めた。試料は面心立方晶の 99.99% Al, 99.99% Cu, 0.026% C 19% Cr 11% Ni ステンレス鋼 (SUS 28), および比較材としての体心立方晶の 0.06% C 極軟鋼の4種である。定常状態変形中の試験片を急冷して，変形組織を観察した。

III. 結果と考察 温度 T_c (表1に示す) 以上で現れる定常状態変形曲線 (図1) について，定常状態変形のひずみ速度 $\dot{\gamma}_s$, 定常状態応力 τ_s および温度 T との関係を調べた。その結果， T_c' (表1に示す) 以上の温度で，応力が τ_{sc} より小さい場合には，

$$\dot{\gamma}_s / D(T) = A (\tau_s / \mu_T)^{n'}$$

なる関係が成立した (図2)，ここで $D(T)$ および μ_T はそれぞれ温度 T における自己拡散係数および剛性率であり，A および n' は定数で， n' は Al; 4.3, Cu; 6.5, SUS 28; 5.2, 極軟鋼; 5.7 であった。動的なrestoration過程は表1に示すように温度とともに変化した。定常状態変形のひずみ速度 $\dot{\gamma}_s$ は，動的なrestorationの速度 r ，および加工硬化速度 η によって， $\dot{\gamma}_s = r / \eta$ と表わすことができる。したがって， η が各試料で異なるのは， r の応力依存性がボリゴン化，または再結晶によって異なるためと考えた。また定常状態変形曲線の形 (図1) はrestoration過程を特徴づける。

表1. 動的restoration過程の温度による変化。

C; セル形成, P; ボリゴン化, R; 再結晶

試 料	$T < T_c$	$T = T_c$	$T_c < T < T_c'$	$T = T_c'$	$T > T_c'$
Al T/T_m	C	0.5 C+R	P+R	P	P
Cu T/T_m	C	0.55 C+R	C+R	C+R	C+R
オーステナイト T/T_m	C	0.6 C+R	P	P+(R)	
ステンレス鋼 T/T_m	C	0.4 C	C+R	P+R	
極軟鋼 T/T_m	C	0.4 C	C+R	P+R	

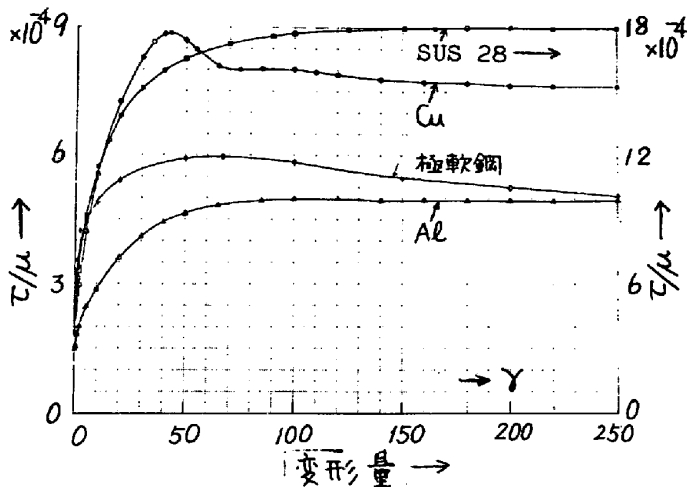


図1. 定常状態変形曲線, $T/T_m = 0.7$ (極軟鋼のみ 0.6), $\dot{\gamma} = 0.12 / \text{sec}$.

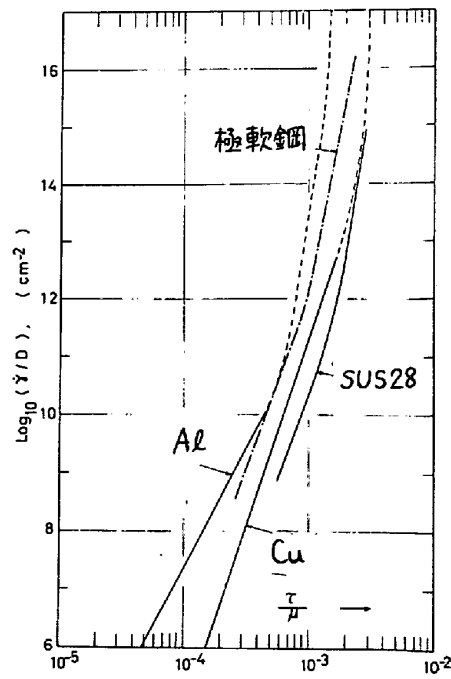


図2. 定常状態変形のひずみ速度の応力依存性。